

П.18

14

СИБИРСКОЕ ОТДЕЛЕНИЕ АН СССР  
ИНСТИТУТ ЯДЕРНОЙ ФИЗИКИ

В.В.Пархомчук, Д.В.Пестриков

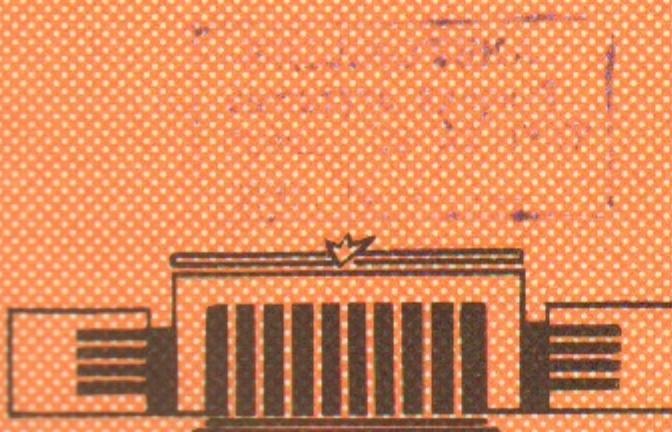
ЧИСЛЕННОЕ МОДЕЛИРОВАНИЕ  
СТОХАСТИЧЕСКОГО ОХЛАЖДЕНИЯ  
И НАКОПЛЕНИЯ

Работа поступила - 8 августа 1980 г.

Ответственный за выпуск - С.Г.Попов  
Подписано к печати 25.УШ-1980г. № 06880  
Усл. 1,2 печ.л., 1,0 уч.изд.л.  
Тираж 200 экз. Бесплатно  
Заказ № 170.

Отпечатано на ротапринте ИЯФ СО АН СССР

ПРЕПРИНТ 80-170



Новосибирск

ЧИСЛЕННОЕ МОДЕЛИРОВАНИЕ СТОХАСТИЧЕСКОГО  
ОХЛАЖДЕНИЯ И НАКОПЛЕНИЯ

В.В.Пархомчук, Д.В.Пестриков

АННОТАЦИЯ

В работе приведены результаты численного моделирования охлаждения энергетического разброса пучка частиц с использованием систем обратной связи (т.н.стochasticкого охлаждения) и накопления частиц с использованием этого метода. Проведено моделирование охлаждения системами с линейной и кубической зависимостью силы трения от отклонения энергии частицы от равновесного значения. Скорость охлаждения ограничивается взаимным влиянием частиц пучка. Наличие когерентной неустойчивости из-за взаимодействия пучка с демпфирующей системой ограничивает скорость накопления.

## I. ВВЕДЕНИЕ

Предложенный С.Ван-дер-Меером<sup>/1/</sup> метод стохастического охлаждения основан на использовании широкополосных систем обратной связи для охлаждения пучков тяжелых частиц. В простейшем случае такая система может состоять из пикап-электрода, измеряющего отклонения частицы от положения равновесия, соединенного через широкополосный усилитель с элементом, корректирующим это отклонение. Наведенный частицей сигнал задерживается цепью обратной связи таким образом, чтобы он приходил на корректирующий элемент одновременно с частицей. В работах Я.С.Дербенева и С.А.Хейфеца<sup>/2,3/</sup> было показано, что эффект охлаждения полностью обусловлен самодействием частицы, то-есть взаимодействием с полями, возбужденными частицей через систему обратной связи.

Теоретический анализ метода осложняется необходимостью учета взаимного влияния частиц пучка через демпфирующую систему. Здесь, как нам кажется, имеется две трудности.

Первая связана с требованием когерентной устойчивости пучка, необходимым для описания эволюции распределения частиц в фазовом пространстве с помощью уравнения типа уравнения Фоккера-Планка (как, например, в /2/ + /5/). В практически интересной области параметров, формально вычисленные величины декрементов когерентных колебаний, вносимых системой обратной связи, могут приближаться к частоте обращения частиц в машине. Применение в таких условиях традиционных методов исследования когерентной устойчивости пучка, использующих теорию возмущений, может привести к ошибочным выводам.

Вторая трудность связана со сложной структурой самого кинетического уравнения (см.например в /3/), коэффициенты которого зависят от распределения части в охлаждаемом пучке.

Целью настоящей работы является численное моделирование эффекта стохастического охлаждения, а также накопление частиц с использованием этого метода.

## II. КАЧЕСТВЕННОЕ РАССМОТРЕНИЕ

Рассмотрим охлаждение энергетического разброса азимутально однородного пучка с помощью системы, изображенной на рис. I.

Проходя пикап-электрод, частица наводит сигнал, пропорциональный ее отклонению по энергии от равновесного значения. Через широкополосный усилитель этот сигнал подается на ускоряющий зазор одновременно с приходом частицы. Таким образом изменение ее энергии после прохождения зазора равно:

$$\delta(\Delta E) = -\alpha \Delta E, \quad (1)$$

где  $\alpha$  определяется чувствительностью пика, коэффициентом усиления усилителя и другими характеристиками цепи обратной связи,  $\Delta E$  — отклонение энергии частицы от равновесного значения.

Если  $f_0$  частота обращения частицы, то согласно (1) декремент затухания для отдельной частицы

$$\lambda = \alpha f_0. \quad (2)$$

растет пропорционально  $\alpha$ .

Рассмотрим ограничения на величину декремента связанные с взаимодействием между частицами. Время действия сигнала на ускоряющем зазоре определяется полосой пропускания ( $W$ ) цепи обратной связи (пикап-электрод, усилитель, ускоряющий зазор). В настоящее время наибольшие трудности связаны с созданием достаточно широкополосных усилителей с большой мощностью на выходе.

Длительность импульса напряжения на зазоре:

$$\tilde{\tau} \approx \frac{1}{W}$$

определяет число частиц пучка, действующих на данную частицу:

$$N^* = N \tilde{\tau} f_0 = \frac{N}{n} \quad (3)$$

где  $N$  — число частиц в пучке, а  $n = W/f_0$  число гармоник частоты обращения в полосе пропускания  $W$ .

Число оборотов, в течение которых пара частиц взаимодействует через систему обратной связи, равно:

$$v_{ik} = f_0 \Delta t_{ik} = f_0 \tilde{\tau} \left( \frac{f_0}{\Delta f_{ik}} \right) = \left[ \frac{n \Delta f_{ik}}{f_0} \right]^{-1}, \quad (4)$$

где  $\Delta f_{ik}$  расстояние по частоте между частицами  $i$  и  $k$ .

Изменение энергии частицы  $i$  за счет взаимодействия с частицей  $k$  за время  $\Delta t_{ik}$  равно:

$$\delta(\Delta E_i) = -\alpha v_{ik} \Delta E_k \quad (5)$$

Воздействие частицы  $k$  на остальные частицы пучка приводит к компенсации сигнала, наводимого частицей  $k$  на пикап-электроде из-за смещения энергии остальных частиц в соответствии с (5). С учетом этого вынужденного движения можно написать уравнение (1) во втором приближении:

$$\delta(\Delta E_k) = -\alpha (\Delta E_k + \sum \delta(\Delta E_i)) \approx -\alpha \Delta E_k (1 - \alpha N^* v), \quad (1a)$$

где  $v$  отличается от  $v_{ik}$  заменой  $\Delta f_{ik}$  на разброс частот в пучке  $\Delta f$ . Повторение итерационной процедуры в (1.a) с учетом (5) позволяет приблизенно написать:

$$\begin{aligned} \delta(\Delta E_k) &\approx -\alpha \Delta E_k (1 - \alpha N^* v (1 - \alpha N^* v (1 - \dots))) = \\ &= -\frac{\alpha}{1 + \alpha N^* v} \Delta E_k = -\frac{\alpha}{1 + \frac{\alpha N}{n^2} \left( \frac{f_0}{\Delta f} \right)} \Delta E_k. \end{aligned} \quad (6)$$

При этом декремент определяется выражением:

$$\lambda = \frac{\lambda_0}{1 + \frac{\lambda_0 N}{\Delta f n^2}}, \quad (7)$$

где  $\lambda_0 = \alpha f_0$  величина декремента отдельной частицы.

Из (7) видно, что за счет усиления взаимного влияния частиц в процессе охлаждения значение декремента  $\lambda$  ассимитотически ограничивается величиной:

$$\lambda_{max} = \frac{n^2 \Delta f}{N} = \frac{W}{N v} \quad (8)$$

Следует, однако, заметить, что  $\lambda$ , во всяком случае меньше меньшего из  $\lambda_0$  и  $\lambda_{max}$ . Поэтому уменьшение коэффициента обратной связи  $\alpha$  после достижения:

$$\frac{\Delta f}{f_0} \sim \frac{\alpha N}{n^2}$$

не дает выигрыша в скорости охлаждения пучка. Этим формула (7) отличается от результатов работ /4,5/, где делается вывод о существовании оптимального коэффициента усиления для охлаждения  $N$  частиц.

Как видно из предыдущего, рассмотренное ограничение декремента связано с экранированием частицы  $K$  остальными частицами пучка.

Другое ограничение связано с собственным движением частиц, которое также приводит к изменению энергии данной частицы. Уравнение для среднеквадратичного значения отклонения по энергии с учетом этого влияния можно записать в виде:

$$\frac{d}{dt} \Delta E_K^2 = -2\alpha f_0 \Delta E_K^2 + \alpha_{f_0}^2 v \sum_{i=1}^N \Delta E_i^2 \approx \\ \approx -2\alpha f_0 \left( \Delta E_K^2 - \frac{\alpha v N}{2} \langle \Delta E^2 \rangle \right), \quad (9)$$

скобки  $\langle \rangle$  означают усреднение с функцией распределения.

Может показаться, что уравнение (9) описывает саморазогрев пучка под действием тепловых шумов пучка. Это, однако, зависит от характера распределения частиц по энергиям. Так, для термодинамически равновесного распределения частиц, с учетом эффекта экранировки (6), уравнение (9) можно переписать в виде:

$$\frac{d}{dt} \langle \Delta E^2 \rangle \approx -2\lambda \langle \Delta E^2 \rangle \frac{1 + \frac{\alpha N^* v}{2}}{1 + N^* \alpha v} \quad (9a)$$

Отсюда видно, что равновесное распределение к саморазогреву пучка не приводит.

Если же имеется две группы частиц отстоящих по энергии друг от друга на расстояние  $\Delta E$  существенно превышающем разброс по энергиям в этих группах  $\Delta E^2 \gg \langle \Delta E^2 \rangle$ , то происходит довольно быстрый разогрев этих групп.

Как видно из (9) ограничение декремента за счет этого эффекта практически совпадает с (8).

Еще одно ограничение на величину  $\alpha$  связано с требованием когерентной устойчивости пучка. Если пучок совершает когерентные колебания с амплитудой  $\Delta E$ , то изменение положения центра тяжести пучка за оборот есть:

$$\Delta E(m \cdot T_0 + T_0) = \Delta E(m \cdot T_0) (1 - \alpha N^*) \quad (10)$$

или

$$\Delta E(mT) = \Delta E(0) (1 - \alpha N^*)^m$$

Отсюда видно, что для устойчивости когерентных колебаний необходимо, чтобы

$$\alpha < \frac{2}{N^*} = \frac{2n}{N} \quad (II)$$

Любопытно отметить, что при  $\alpha = 1/N^*$  когерентные колебания в пучке затухают за один оборот. В таких условиях азимутальные моды функции распределения частиц сильно связаны и традиционные критерии устойчивости оказываются не применимы. Одночастичный декремент в этом случае

$$\lambda < \frac{n f_0}{N} = \frac{W}{N} \quad (12)$$

Последнее ограничение фактически определяет скорость накопления в установках со стохастическим охлаждением. Для накопления необходимо, чтобы за время между инъекциями  $\bar{T}_0$  вновь инъектированные частицы успевали бы затухать. Это требует вполне определенного коэффициента обратной связи  $\alpha = (\bar{T}_0 \lambda)^{-1}$ . Следовательно, после накопления

$$N = N_{th} = 2W\bar{T}_0 \quad (13)$$

частиц в пучке возникает когерентная неустойчивость. Для дальнейшего накопления необходимо увеличить время между инъекциями  $\bar{T}_0$  и соответственно уменьшить величину  $\alpha$ . Скорость накопления в этом случае зависит от числа уже накопленных частиц и составляет:

$$\frac{dN}{dt} = \frac{\Delta N}{\tau_0} = \frac{\Delta N}{N} 2W, \quad (14)$$

где  $\Delta N$  число инжектируемых частиц. Число частиц, накопленных за время  $t$  получается интегрированием (14)

$$N(t) = 2 \sqrt{W \cdot t \cdot \Delta N} \quad (15)$$

и, если длительность цикла ускорителя инжектора  $\tau_1$ , то доля использованных частиц

$$k = 2 \sqrt{\frac{\tau_1 W}{\Delta N} \left( \frac{\tau_1}{t} \right)}$$

уменьшается с увеличением времени накопления.

Второй путь увеличения числа накопленных частиц был предложен в ЦЕРН<sup>6/</sup> и основан на уменьшении коэффициента обратной связи  $\alpha$  к центру области накопления. В этом случае уравнения движения частиц становятся нелинейными и их анализ наталкивается на значительные трудности. Поэтому было предпринято численное моделирование процесса стохастического затухания и накопления частиц.

### III. Описание модели

Для численного анализа использовалась следующая модель. Азимутально-однородный пучок разбивался на группы азимутальной протяженности  $\Delta\theta = 2\pi/n$ , где  $n$  число разбиений. Сигнал коррекции скорости продольного движения частицы данной группы определялся суммой сигналов от всех частиц этой группы в соответствии с выражением:

$$\Delta f_k^{(m)} = \Delta f_k^{(m-1)} - \sum_{i=1}^N \alpha(\Delta f_i^{(m-1)}) \Delta f_i^{(m-1)} + \left\langle \sum_{i=1}^N \alpha(\Delta f_i^{(m-1)}) \cdot \Delta f_i^{(m-1)} \right\rangle_n \quad (16)$$

$$\Delta \theta_i^{(m)} = \Delta \theta_i^{(m-1)} + B \Delta f_i^{(m-1)}.$$

Здесь  $m$  — номерует итерации,  $i$  и  $k$  находятся в пределах данной группы, скобки  $\langle \rangle_n$  означают усреднение по

группам частиц. Вычитание среднего отвечает невозможности измерения пикап-электродом постоянного тока. Импульс напряжения, действующий на частицы схематически изображен на рис.2.

Принадлежность частицы к группе определялась азимутальным положением  $\theta$  и при изменении  $\theta$  частица могла переходить из группы в группу.

Начальные условия для частиц задавались с помощью датчика случайных чисел. Начальные значения  $\theta$  распределялись в интервале  $(0, 2\pi)$ , а начальные значения частот  $\Delta f$  распределялись в пределах, которые могли изменяться.

В ходе вычислений прослеживалась эволюция распределения частиц по частотам  $\Delta f$  и число частиц в пучке. При значениях отклонения частоты обращения  $|\Delta f| > \Delta f_{max}$  частица исключалась из счета, что соответствует достижению апертурного предела. При добавлении новой порции частиц, частицы пучка имеющие  $\Delta f$  в области инъекции также исключались.

### IV. РЕЗУЛЬТАТЫ

Для уточнения результатов оценок влияния экранирования, диффузии и когерентной устойчивости на процесс стохастического охлаждения было проведено моделирование с линейной силой трения, когда коэффициенты  $\alpha(\Delta f)$  в уравнении (16) не зависят от  $\Delta f$ .

На рис.3 показана зависимость разброса частот обращения от числа оборотов (времени). Вычисления проводились при  $\alpha = 0.1$  и различном числе частиц в пучке (соответственно  $N = 1, 50, 100$ ). Такое значение  $\alpha$  соответствует затуханию отклонения энергии одной частицы в  $e$  раз за 10 оборотов и позволяет видеть основные эффекты с сравнительно небольшим числом частиц. Из рисунка видно, что в процессе охлаждения большого числа частиц скорость изменения разброса уменьшается. На рис.4 показано изменение декремента затухания в зависимости от величины разброса частот  $\Delta f$  при различном числе частиц в пучке. Зависимость декремента затухания от  $\Delta f$  хорошо соответствует формуле:

$$\lambda = \frac{\lambda_0}{1 + \frac{\lambda_0 N}{1.25 n^2 \Delta f}} \approx \begin{cases} \lambda_0, & \Delta f \gg \frac{\lambda_0 N}{n^2} \\ \frac{1.25 n^2 \Delta f}{N}, & \Delta f \ll \frac{\lambda_0 N}{n^2} \end{cases} \quad (I7)$$

Здесь  $\lambda_0$  одиноческий декремент. Это результат согласуется с выражением (7). Численный коэффициент 1.25 в формуле (I7) определяется формой импульса напряжения на ускоряющем зазоре и может несколько изменяться при изменении частотной характеристики цепи обратной связи. Заметим также, что этот результат находится в хорошем численном согласии с данными, полученными в работе [7].

На рис.5 показано изменение характера движения центра тяжести распределения по частотам при увеличении числа частиц в пучке. Видно, что начиная с некоторого порогового значения

$$N > \frac{n}{\alpha} = \frac{w}{\lambda_0}$$

появляется раскачка положения центра тяжести.

В связи с задачей о накоплении частиц было также проведено моделирование процесса охлаждения для случая, когда коэффициент обратной связи  $\alpha$  убывает к центру области накопления по квадратичному закону:

$$\alpha(\Delta E) = \alpha_0 \left( \frac{\Delta E}{\Delta E_0} \right)^2 \quad (I8)$$

На рис.6 (гистограмма б) приведено распределение частиц, полученное с таким коэффициентом  $\alpha$  через 180 шагов. На том же рисунке (гистограмма в) приведено распределение частиц по частотам для случая линейного трения ( $\alpha = \alpha_0$ ) (через 60 шагов). Видно, что особенностью затухания в нелинейном случае является наличие провала в распределении частиц по энергии в окрестности обращения в нуль  $\alpha(\Delta E)$ .

С учетом (I8) коэффициент обратной связи для когерентных колебаний определяется разбросом энергий в пучке, а условие устойчивости когерентных колебаний, аналогично (II), можно записать в виде:

$$\alpha_0 \left( \frac{\Delta E}{\Delta E_0} \right)^2 N^* < 1 \quad (II.a)$$

Отличие этого выражения от (II) заключается в зависимости порогового числа частиц от энергетического разброса в пучке, определяемого нагревающими факторами (шумы электроники, шумы от вновь инжектированной порции частиц).

При моделировании, внешняя диффузия определялась случайными толчками с прямоугольным распределением амплитуд. Было найдено, что под действием таких толчков в пучке устанавливается разброс по энергиям:

$$\Delta E^2 = 0.41 \Delta E_0 \sqrt{\frac{\langle \Delta E_T^2 \rangle}{\alpha_0}} \quad (I9)$$

где  $\langle \Delta E_T^2 \rangle$  среднеквадратичная амплитуда толчков.

Предельное число частиц в этих расчетах определялось по возникновению незатухающих когерентных колебаний (что, как правило, сопровождалось гибеллю части пучка) и составляло:

$$N_{th} = 0.67 \frac{n}{\alpha_0^{3/2} \sqrt{\langle \Delta E_T^2 \rangle / \Delta E_0^2}} \quad (20)$$

Другим источником нагревания накаленного пучка является шум от вновь инжектированной порции частиц. На рис.7 показано расширение первоначально охлажденного пучка после инъекции новой порции частиц. В результате такого расширения появляется много частиц в области с большим коэффициентом усиления, что может приводить к появлению когерентной неустойчивости пучка. На рис.8 показан результат моделирования накопления частиц для случаев, когда коэффициент усиления ( $\alpha$ ) не зависит от  $\Delta E$  и когда  $\alpha$  квадратично уменьшается к центру области накопления. Коэффициент усиления на краю апертуры был одинаков и равен 0,15, что достаточно для ухода частиц из области инъекции за время между циклами. Видные на рис.8 потери частиц являются результатом возбуждения в пучке когерентных колебаний.

Зависимость предельного числа накаленных частиц от числа инжектированных частиц показана на рис.9. Влияние инжектированных частиц на накаленные, качественно, может быть описано коэффициентом диффузии:

$$\alpha_0^2 f_0 \Delta N \cdot \gamma_{inj}^* \cdot \left( \frac{1}{\alpha_0 f_0 \tilde{\tau}_1} \right) \quad (21)$$

где  $(\alpha_0 f_0 \tilde{\tau}_1)^{-1}$  — доля времени затухания  $\tilde{\tau}$  во времени между инъекциями  $\tilde{\tau}_1$ . Уменьшение числа накопленных частиц с ростом числа инъектированных  $\Delta N$  находится в хорошем соответствии с формулой, получающейся комбинированием (21) и (II.a):

$$N_{th} \approx \frac{n}{\alpha_0} \sqrt{\frac{\tilde{\tau}_1 f_0}{\Delta N \gamma_{inj}^*}} \quad (22)$$

или

$$N_{th} \approx W \tilde{\tau} \sqrt{\frac{\tilde{\tau}_1}{\tilde{\tau}_{min}}} \quad (22a)$$

Здесь

$$\tilde{\tau}_{min} = \frac{\Delta N}{n^2 \Delta f_{inj}}$$

минимально возможное время затухания  $\Delta N$  частиц.

Выражения (22), (22.a) показывают, что для накопления достаточного числа частиц необходимо уменьшать величину коэффициента обратной связи  $\alpha$  и соответствующим образом увеличивать время между инъекциями  $\tilde{\tau}_1$ . Если для оценки положить  $\tilde{\tau}_1 = \tilde{\tau}$ , то скорость накопления, с учетом (22.a), может быть записана в виде:

$$\frac{dN}{dt} = \frac{\Delta N}{\tilde{\tau}} = \Delta N \left( \frac{W \sqrt{\tilde{\tau}_{min}}}{N} \right)^{2/3}, \quad (23)$$

а число частиц накопленных ко времени  $t$  будет

$$N(t) = \Delta N^{2/5} \left( \frac{n \Delta f_{inj}}{f_0} \right)^{1/5} \left( \frac{5}{3} W t \right)^{3/5} \quad (24)$$

Сравнение этого выражения с формулой (15) показывает, что использование системы охлаждения с декрементом, уменьшающимся к центру области накопления не приводит к существенному увеличению числа частиц, накопленных в течение заданного интервала

времени  $t$ .

В заключение приведем численный пример. Пусть  $f_0 = 2 \cdot 10^6$  Гц,  $\Delta f_{inj}/f_0 = 5 \cdot 10^{-3}$ ,  $\Delta N = 2,5 \cdot 10^7$ . Полоса пропускания цепи обратной связи в этом случае должна быть не более  $W = 4 \cdot 10^8$  Гц. Для числа частиц, накопленных в течение суток ( $t = 8,64 \cdot 10^4$  сек) формула (24) дает:  $N = 1,6 \cdot 10^{11}$ , а формула (15)

$$N = 8,3 \cdot 10^{10}$$

частиц, что примерно отвечает средней скорости накопления:

$$\dot{N} = \frac{N}{t} = 1,8 \cdot 10^6 \text{ частиц/сек}$$

Авторы благодарны А.Н. Скрипинскому за постановку задачи и полезные обсуждения.

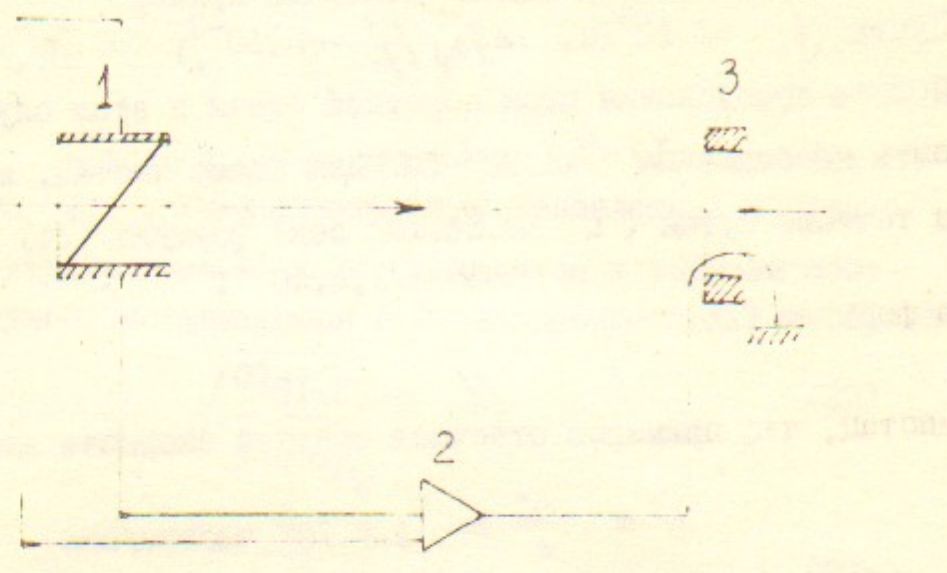


Рис.1. Блок схема системы для продольного стохастического охлаждения:  
1 - пикап-электрод; 2 - усилитель; 3 - ускоряющий зазор.

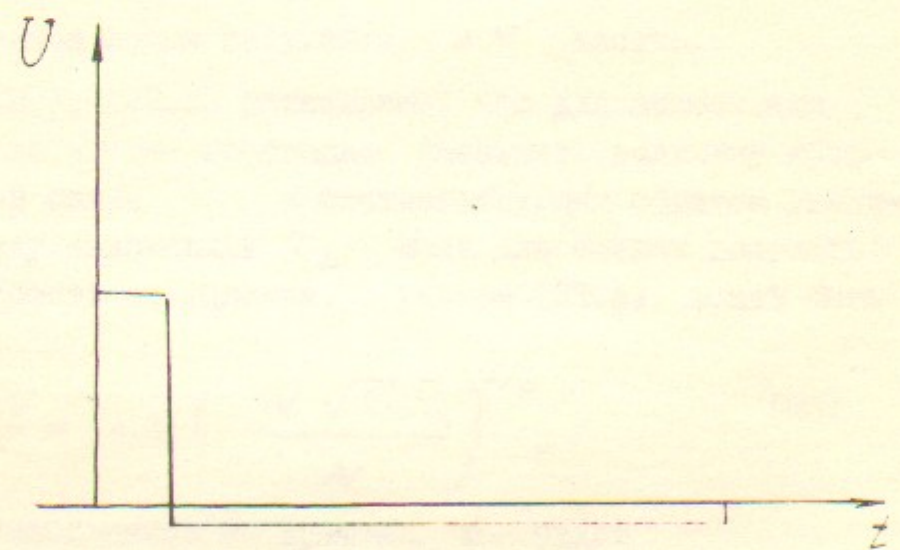


Рис.2. Схематическое изображение импульса напряжения на ускоряющем зазоре.

-14-

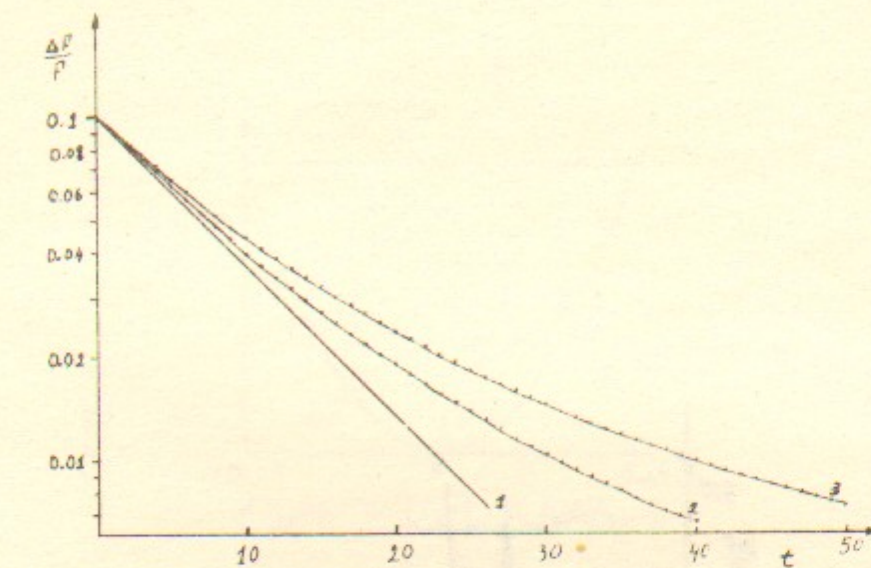


Рис.3. Зависимость относительного разброса частот обращения от числа оборотов  $\alpha = 0,1$ .  
1.  $N = 1$ , 2.  $N = 50$ , 3.  $N = 100$ .

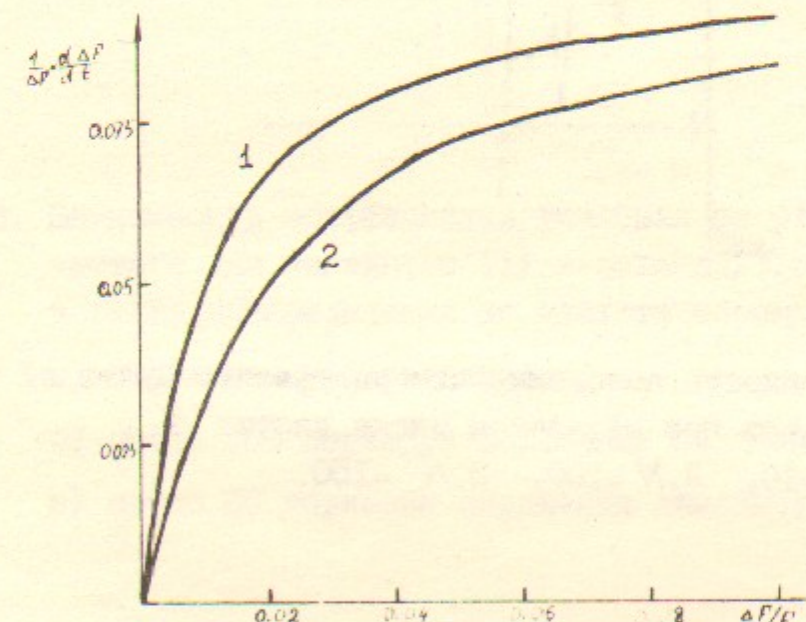


Рис.4. Зависимость декремента затухания от величины относительного разброса частот в пучке  $\alpha = 0,1$ .  
1.  $N = 50$ , 2.  $N = 100$ .

-15-

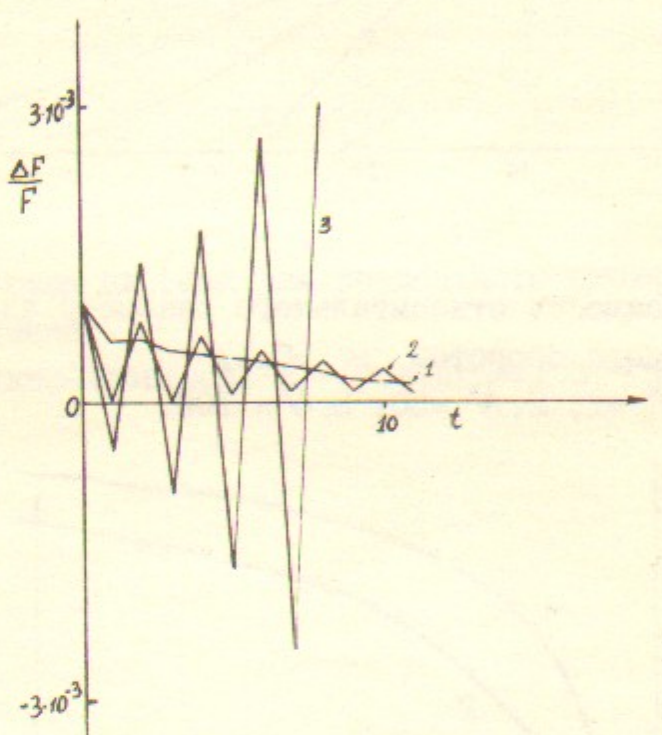


Рис.5. Зависимость положения центра тяжести пучка от числа оборотов при различном числе частиц  $N$ .  
1. $N=10$ , 2. $N=100$ , 3. $N=150$ .

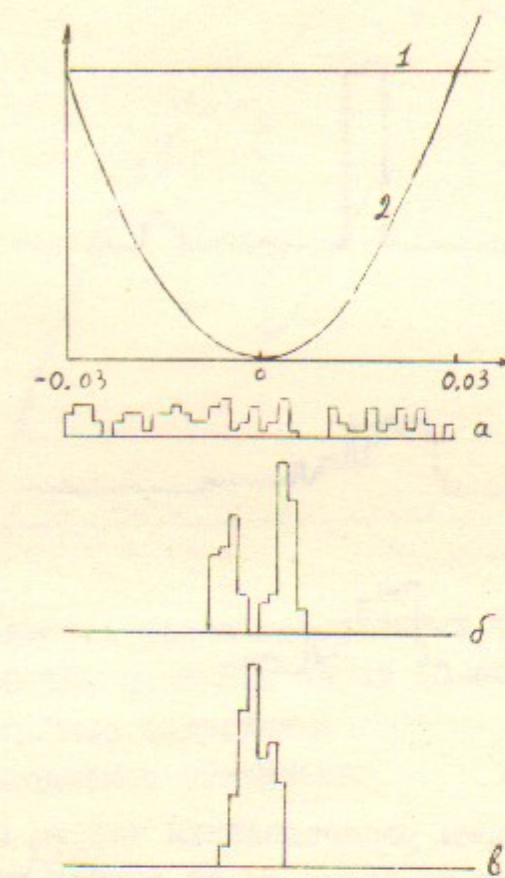


Рис.6. Зависимость коэффициента усиления от отклонения по частоте для линейного (1) и нелинейного (2) охлаждения, а также распределения по частоте обращения:  
а) начальное распределение;  
б) после 180 периодов обращения нелинейного охлаждения;  
в) после 60 периодов обращения линейного охлаждения.

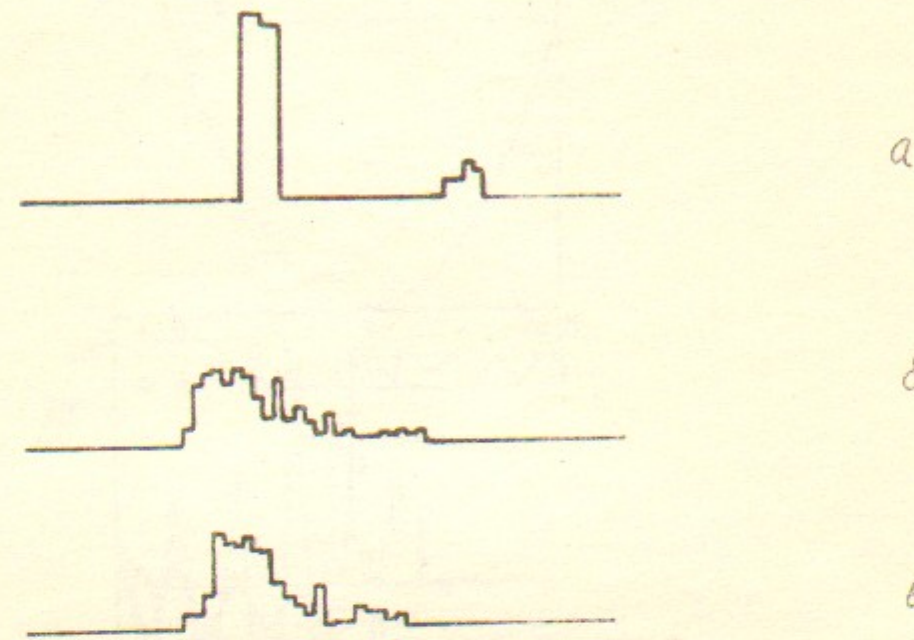


Рис.7. Изменение формы распределения частиц по частотам обращения после инъекции новой порции частиц.  $N=230$ ,  $\alpha = 0.15$ .

- а) начальное распределение,
- б) через 6 оборотов,
- в) через 12 оборотов.

-18-

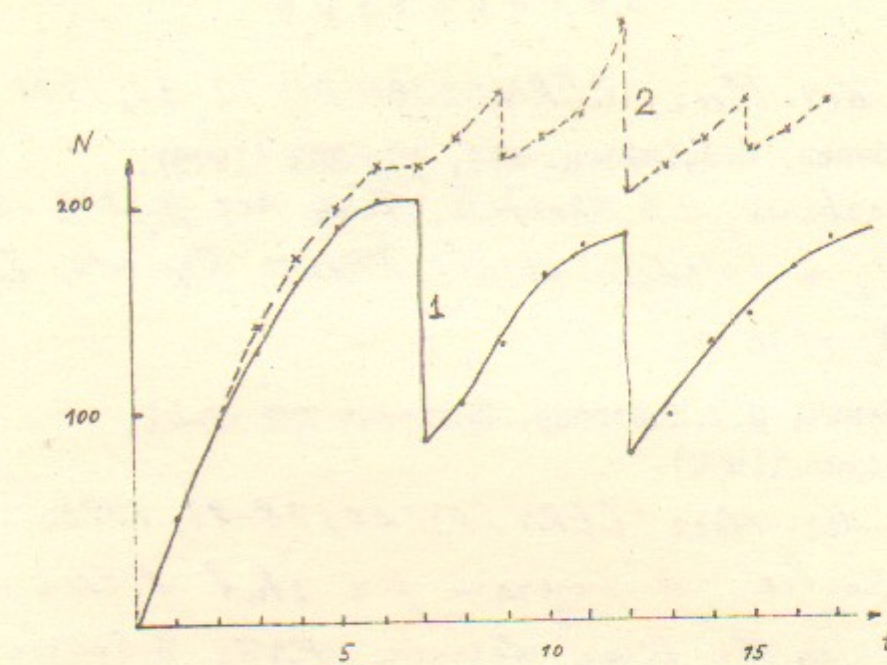


Рис.8. Зависимость числа накопленных частиц от времени  $\alpha_0 = 0.15$ , инъекция через 10 оборотов.

- 1. Линейное охлаждение
- 2. Нелинейное охлаждение.

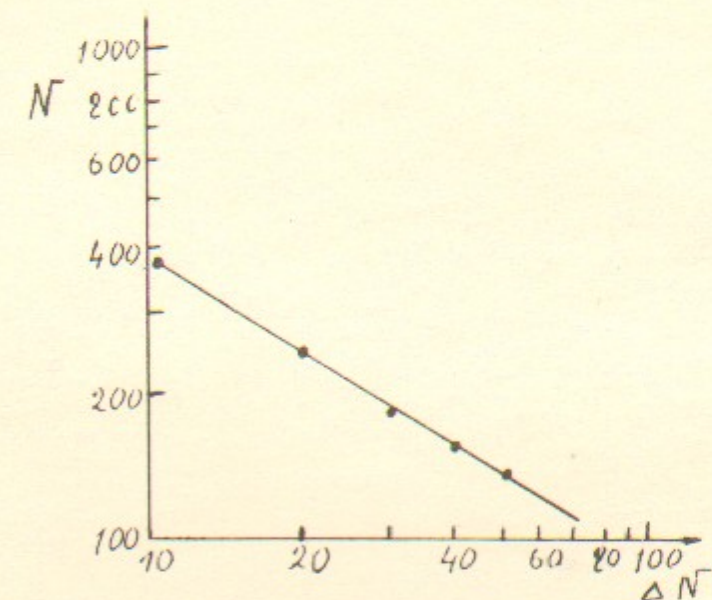


Рис.9. Зависимость предельного числа накопленных частиц от числа инъектированных частиц.

-19-

Л и т е р а т у р а

1. S. Van-der-Meer. CERN/ISR-PO/72-31, 1972.
2. Я.С.Дербенев, С.А.Хейфец. ЖТФ, 49, 363 (1979).
3. Ya. S. Derbenev, S. A. Kheifets. Part. Acc. 2, 237, 1979.
4. D. Möhl, G. Petracci et al. Physics Reports, 58, №2, 1980.
5. Н.И.Зиневич, М.М.Карлинер. Препринт ИЯФ 80-21, Новосибирск, (1980).
6. S. Van-der-Meer. CERN/PS/AA/78-22, 1978.
7. E.A. Croslie. A program for stub filter cooling in the time domain. FNAL  $\bar{p}$  Source Note #52, November 12, 1979.